

# 某海底输送管线腐蚀失效分析

钟 强<sup>1</sup> 赵国仙<sup>1</sup> 倪崇江<sup>2</sup> 吕祥鸿<sup>1</sup> 薛 艳<sup>3</sup> 李丹平<sup>3</sup>

1. 西安石油大学材料科学与工程学院, 陕西 西安 710065;

2. 新疆油田公司供水公司, 新疆 克拉玛依 834000;

3. 西安摩尔石油工程实验室股份有限公司, 陕西 西安 710065

**摘要:**通过宏观形貌观察、理化性能检验、扫描电镜及能谱分析等分析方法,对某海底输送管线穿孔原因进行失效分析。结果表明:弯管内壁腐蚀产物成分主要为  $\text{FeCO}_3$  和  $\text{Fe}_3\text{O}_4$ ,弯管外壁腐蚀产物成分主要为  $\text{FeCO}_3$  和  $\text{FeOOH}$ ;含腐蚀性气体的水介质、压强较大的点主要分布在弯管外侧,弯管外弧侧的腐蚀环境较内弧侧更恶劣,腐蚀趋势较内弧侧更大,易发生腐蚀穿孔;弯管内壁外弧侧穿孔前为  $\text{CO}_2$  腐蚀,穿孔方向由内壁向外壁,穿孔后,弯管内、外壁同时遭受  $\text{CO}_2$  和氧腐蚀。

**关键词:**弯管;穿孔;二氧化碳腐蚀;氧腐蚀

DOI:10.3969/j.issn.1006-5539.2016.01.019

## 0 前言

在石油天然气工业中,管线是原油、天然气最主要的输送方式。随着我国海洋油气资源的不断开发和利用,海底输送管线的建设也不断增多,但使用过程中出现了各种问题,如腐蚀失效产生的泄漏和断裂<sup>[1-4]</sup>等。海底输送管线流体为多相流,其中溶有酸性气体( $\text{CO}_2$ 、 $\text{H}_2\text{S}$ )而具有酸性,随开采时间增加,原油含水率逐年升高,严重腐蚀管道;由于管道弯管处结构的特殊性,其腐蚀往往更严重<sup>[5-7]</sup>。本文研究的某海底输送管线,输送流体为原油、油田产出水和天然气,随生产时间延长,输油量降低,输水量升高,原油含水率逐年增加,进出口压力逐年增大。海底输送管线内的腐蚀环境越来越恶劣,导致管道腐蚀情况越来越严重,部分管段甚至穿孔,因此有必要对该海底输送管线进行腐蚀原因分析,找出腐蚀的主要影响因素,为后期管道设计及维护提供依据和帮助。本文研究的某海底输送管线内管材质为 API 5 L X 65 无缝管,与弯管采用对接焊连接,规格为  $\Phi 152 \text{ mm} \times 12.7 \text{ mm}$ 。

## 1 宏观形貌分析

图1为某海底输送管线内管连接示意图。由图1可见,穿孔位置在弯管外弧侧(红色圆圈)。

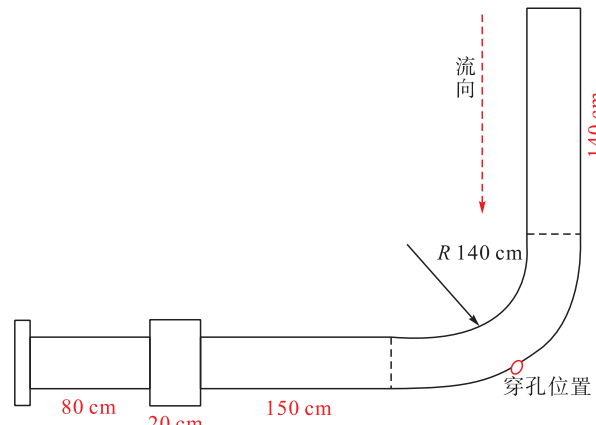


图1 某海底输送管线内管连接位置示意图

穿孔位置宏观形貌见图2,测量蚀孔尺寸约  $34.46 \text{ mm} \times 27.23 \text{ mm}$ 。图2-a为穿孔处内壁宏观形貌,穿孔处内壁布满深度不一的局部腐蚀坑,椭圆形区域内可见极深的

收稿日期:2015-09-25

基金项目:石油专用管腐蚀与防护陕西省重点科技创新团队项目基金;西安市科技计划项目“产学研协同创新计划”(CXY1515(6))

作者简介:钟 强(1991-),男,江西赣州人,硕士研究生,主要研究方向为金属腐蚀与防护。

腐蚀坑,圆形区域可见由内壁向外壁发展的腐蚀坑。图2-b)为穿孔处外壁宏观形貌,穿孔处周围外壁表面相对较平整,未见明显的局部腐蚀坑,主要呈层片状腐蚀特征。从宏观形貌上观察穿孔处周围内壁腐蚀程度较外壁更严重,由此可以判断,孔蚀是由内壁向外壁发展。



a) 内壁



b) 外壁

图2 穿孔位置宏观形貌

## 2 理化性能分析

### 2.1 化学成分分析

在弯管上取内弧侧和外弧侧试样,依据 API Spec 5 L-2012《美国石油协会管线钢管规范》标准要求对C、Si、Mn、P、S、V、Nb和Ti元素进行含量分析,结果见表1。由表1可见,弯管段的化学成分满足API Spec 5 L-2012《美国石油协会管线钢管规范》标准要求。

表1 化学成分分析结果

| 元素 | 内弧侧试样 | 外弧侧试样 | API Spec 5 L-2012 规定 |
|----|-------|-------|----------------------|
| C  | 0.10  | 0.10  | ≤0.18                |
| Si | 0.28  | 0.28  | ≤0.45                |
| Mn | 1.45  | 1.47  | ≤1.70                |
| P  | 0.006 | 0.006 | ≤0.025               |
| S  | 0.002 | 0.002 | ≤0.015               |
| V  | 0.062 | 0.062 | -                    |
| Nb | 0.026 | 0.027 | V + Nb + Ti ≤ 0.15   |
| Ti | 0.013 | 0.013 | -                    |

### 2.2 机械性能

在弯管上取内弧侧和外弧侧试样,分别进行拉伸和冲击测试,表2和表3分别为拉伸和冲击测试结果。由表2~3可见,送检弯管段的拉伸性能和冲击韧性均满足

API Spec 5 L-2012《美国石油协会管线钢管规范》标准的要求。

表2 拉伸试验结果

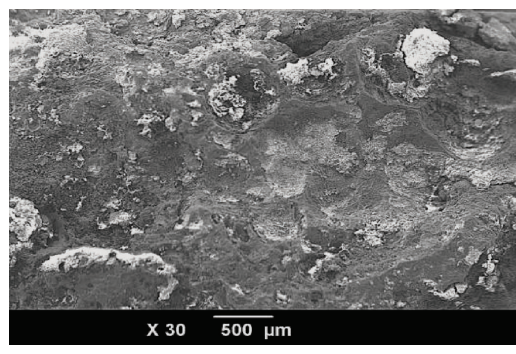
| 项目                   | 内弧侧<br>试样 | 外弧侧<br>试样 | API Spec 5 L-<br>2012 规定 |
|----------------------|-----------|-----------|--------------------------|
| 抗拉强度 $R_m$ /MPa      | 573       | 577       | ≥535                     |
| 屈服强度 $R_{t0.5}$ /MPa | 477       | 488       | -                        |
| 断后伸长率 $A$ / (%)      | 29.5      | 32.0      | -                        |

表3 冲击试验结果

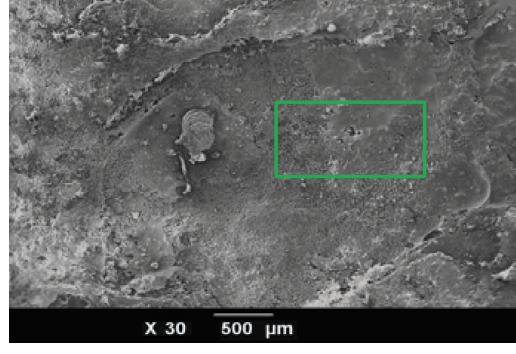
| 项目                                    | 内弧侧<br>试样 | 外弧侧<br>试样 | API Spec 5 L-2012 规定 |
|---------------------------------------|-----------|-----------|----------------------|
| 冲击功 $A_k(0\text{ }^\circ\text{C})$ /J | 154.3     | 155.1     | 全尺寸冲击功 ≥ 27.0        |

## 3 微观形貌分析

在弯管蚀孔附近取样,进行内、外壁腐蚀形貌微观分析及表面腐蚀产物能谱分析。图3为内、外壁微观腐蚀形貌及能谱分析位置,表4为内、外壁腐蚀产物能谱(EDS)分析结果,表4中内、外壁腐蚀产物的主要组成元素有C、O、Fe等。分别在弯管穿孔附近内壁、外壁刮取腐蚀产物,结合EDS结果进行X射线衍射(XRD)分析,结果见图4。由图4可见,弯管内壁腐蚀产物主要成分为 $\text{FeCO}_3$ 和 $\text{Fe}_3\text{O}_4$ ;弯管外壁腐蚀产物主要成分为 $\text{FeCO}_3$ 和 $\text{FeOOH}$ 。其中 $\text{FeCO}_3$ 为 $\text{CO}_2$ 腐蚀产物, $\text{Fe}_3\text{O}_4$ 和 $\text{FeOOH}$ 为氧腐蚀产物。



a) 内壁



b) 外壁

图3 内、外壁腐蚀形貌及能谱分析位置

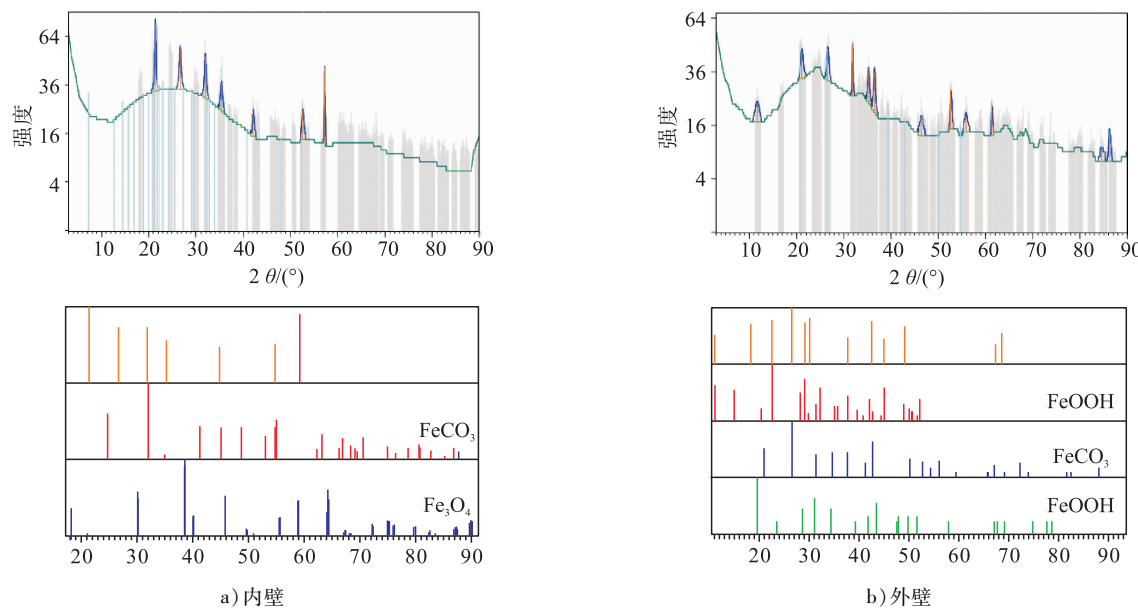


图4 内、外壁腐蚀产物XRD分析结果

表4 内、外壁腐蚀产物能谱分析结果

| 元素 | 外壁                     |             | 内壁                     |             |
|----|------------------------|-------------|------------------------|-------------|
|    | 质量分数<br><i>w</i> / (%) | 原子百分比 / (%) | 质量分数<br><i>w</i> / (%) | 原子百分比 / (%) |
| C  | 10.48                  | 21.42       | 43.06                  | 58.79       |
| O  | 34.81                  | 53.40       | 31.25                  | 32.02       |
| Si | 0.59                   | 0.52        | 0.38                   | 0.22        |
| S  | 0.76                   | 0.58        | 0.68                   | 0.35        |
| Cl | 1.23                   | 0.85        | 0.28                   | 0.13        |
| Ca | 1.88                   | 1.15        | 3.29                   | 1.35        |
| Fe | 50.25                  | 22.08       | 18.58                  | 5.46        |

#### 4 极化曲线测试

分别在弯管上取外弧侧和内弧侧试样,进行极化曲线测试。试样为Φ15 mm×3 mm圆片,电化学测试设备选用AMETEK公司的M 273 A恒电位仪,辅助电极选用石墨惰性电极,参比电极为饱和甘汞电极(SCE),腐蚀溶液取自现场水介质。图5和表5分别为弯管试样极化曲线测试结果和拟合结果。由图5和表5可见,弯管外弧侧和内弧侧试样的自腐蚀电位分别为-713 mV和-700 mV,由表5可见,弯管外弧侧和内弧侧试样的阴极极化曲线Tafel斜率均大于阳极极化曲线Tafel斜率,表明试样腐蚀反应均为阴极反应过程控制<sup>[8]</sup>。比较两种试样的自腐蚀电位和腐蚀电流密度发现,弯管外弧侧的自腐蚀电位更低,腐蚀电流密度更大,表明弯管外弧侧的电化学腐蚀趋势大,即在相同腐蚀环境中,弯管外弧侧更易发生腐蚀,这可能和弯管弯制工艺对材料的组织、性能影响有关。

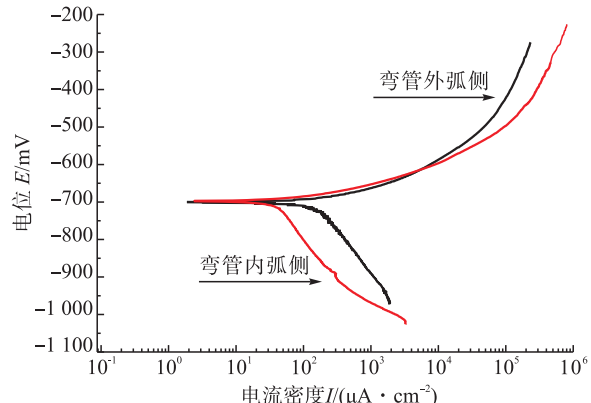


图5 弯管试样极化曲线测试结果

表5 极化曲线参数拟合结果

| 材料    | 电位<br><i>E</i> <sub>corr</sub> / mV | 电流密度 <i>I</i> <sub>corr</sub> / ( $\mu\text{A}\cdot\text{cm}^{-2}$ ) | 阳极塔菲尔斜率 <i>B</i> <sub>a</sub> / (V·dec <sup>-1</sup> ) | 阴极塔菲尔斜率 <i>B</i> <sub>c</sub> / (V·dec <sup>-1</sup> ) |
|-------|-------------------------------------|--|--|--|
| 外弧侧试样 | -713                                | 149.9  | 0.038 2  | 0.204 0  |
| 内弧侧试样 | -700                                | 38.9   | 0.043 9  | 0.212 9  |

#### 5 综合分析

##### 5.1 弯管外弧侧腐蚀穿孔原因分析

在海底输送管线内,管道弯曲造成流体力学参数变化,容易发生腐蚀。由于输送流体包括原油、油田水和天然气,对弯管的腐蚀也是多种腐蚀介质的共同作用结果,不同的液体腐蚀除了受共同外界条件影响外,流体间也会相互影响<sup>[9-12]</sup>。周彬等人<sup>[13]</sup>研究发现弯管的腐蚀与流体的运动息息相关,多相流经过弯管后流速、液相分布、湍动能、压力大小分布都发生了变化,加速了弯

管的腐蚀。高速流体冲刷管壁,造成腐蚀产物膜破坏,促进腐蚀恶化<sup>[14]</sup>。

管道输送介质含有气、水、CO<sub>2</sub>、H<sub>2</sub>S等,采用多相流混合模型,选用周彬等人<sup>[13]</sup>的数学模型建模,运用 ANSYS 软件进行模拟计算,对弯管模型进行网格划分,弯曲部分进行局部网格加密,以提高解的收敛性。边界条件为入口采用压力入口,出口采用压力出口,液相体积分数为 10%。图 6 为弯管内液相分布云图,由图 6 可见,液相主要分布在弯管外侧,液相分布率较大时,液相中的腐蚀电解质和管壁易相互接触,容易引起电化学腐蚀,特别是 H<sub>2</sub>S、CO<sub>2</sub>和其他强电解质溶解在液相介质中时,一旦聚集在管壁上,就会形成酸性环境造成管壁腐蚀。由于弯管处结构的变化,引起流体流动分布发生变化,破坏了流体稳定的边界层,混输液的速度梯度变大使管壁腐蚀更严重<sup>[15]</sup>。弯管内壁外侧液体速度较快,冲刷带走表面腐蚀产物,不断露出新的金属基体,由于缺乏有效保护,弯管内壁外侧将不断与腐蚀介质相互接触,加速腐蚀。图 7 为弯管内压强分布云图,由图 7 可见,压强较大的点集中在弯管外侧,高压层影响区域较大,由于惯性作用,流体碰到弯管后将动能转换成静压能,使弯管内壁外侧压强较大,变形量较大,腐蚀产物保护易破损,加速腐蚀。压力上升后,一旦弯管内壁由于腐蚀作用而产生缺陷,很容易发生穿孔。

管道输送的流体为原油、油田产出水和天然气,由于流体在弯管处流过时流速、压强、液相分布等发生变化,易发生腐蚀。因腐蚀介质主要溶于水相中,管道内水含量分布的密集区就成为腐蚀危险区,输送介质含 CO<sub>2</sub> 强电解质溶解在水介质中时,易形成酸性环境,造成弯管腐蚀。随着开采时间延长,原油含水量上升,弯管内壁外侧液相分布率较大处较易腐蚀,同时弯管外弧侧所处腐蚀环境较其他位置更恶劣,电化学测试结果也反映出弯管外弧侧的腐蚀趋势大,弯管外弧侧更易发生腐蚀穿孔。

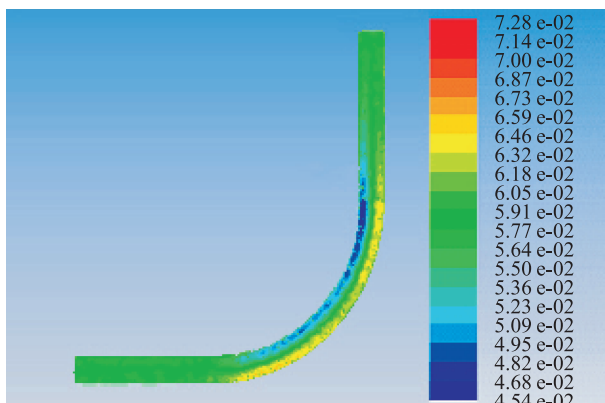


图 6 弯管内液相分布云图

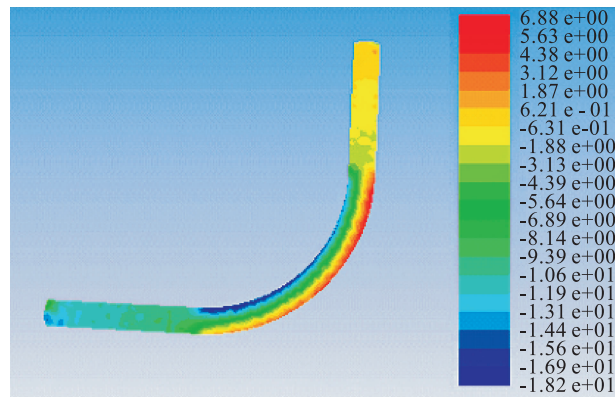


图 7 弯管内压强分布云图

## 5.2 弯管内、外壁腐蚀原因分析

EDS 和 XRD 分析结果表明,弯管内、外壁腐蚀产物为 CO<sub>2</sub> 腐蚀和氧腐蚀产物。CO<sub>2</sub> 溶于水后对金属材料有极强的腐蚀性,气体中含有 CO<sub>2</sub> 腐蚀性气体,弯管内壁在这种环境下很容易发生 CO<sub>2</sub> 腐蚀<sup>[16]</sup>,而管内输送的介质中 CO<sub>2</sub> 气体含量为 5%,所以会发生 CO<sub>2</sub> 腐蚀,同时 CO<sub>2</sub> 腐蚀可使管道发生严重的局部腐蚀穿孔<sup>[17]</sup>。金属在酸性很弱的溶液中,氧气溶解于金属表面的水膜中而发生电化学腐蚀,氧来源可能有两种情况:1) 海底输送管线结构从外到里依次是三层 PE 防腐层、外管、聚氨酯保温层和弯管。一般情况下弯管和外管之间的环形空间都有氧存在,如生产过程有残留、运输过程会渗入、海上施工过程、施工完不进行抽真空作业等多种情况都会使环形空间有氧存在。正常情况下弯管、外管环形空间为干燥环境,无腐蚀性介质,即使有氧存在也不会对海底输送管线造成腐蚀,弯管由内壁向外壁发生穿孔后,弯管和环形空间就形成连通环境,环形空间的氧气进入弯管后溶解于水介质,对弯管造成氧腐蚀。2) 外管在与弯管相同位置也发生穿孔。弯管穿孔后,与外管接触的海水介质会进入环空,海水介质中有氧存在,对弯管造成氧腐蚀。由于没有提供外管穿孔样品,无法对外管穿孔的原因进行分析,无法判断先发生穿孔的是弯管还是外管。但可以肯定的是弯管穿孔是由内壁向外壁,弯管发生穿孔前,弯管主要为内腐蚀,腐蚀原因为 CO<sub>2</sub> 腐蚀。穿孔后,管内和弯管、外管环形空间连通,弯管内外壁同时遭受 CO<sub>2</sub> 腐蚀和氧腐蚀。

## 6 结论

- 1) 弯管材料的理化性能满足 API Spec 5 L – 2012《美国石油协会管线钢管规范》的要求。
- 2) EDS 和 XRD 分析结果表明,弯管内、外壁腐蚀产物为 CO<sub>2</sub> 腐蚀和氧腐蚀产物,穿孔前,管内输送介质含 CO<sub>2</sub>, CO<sub>2</sub> 溶于水对材料有强腐蚀性,发生 CO<sub>2</sub> 腐蚀,穿孔方向由内壁向外壁;穿孔后,管内和弯管、外管环形空

间连通,弯管内、外壁同时遭受CO<sub>2</sub>腐蚀和氧腐蚀。

3)含CO<sub>2</sub>气体的水介质及压强较大的点主要分布在弯管外侧,弯管外弧侧所处腐蚀环境较内弧侧更恶劣,腐蚀趋势较大,更易发生腐蚀穿孔。

#### 参考文献:

- [1] 梁成浩. 现代腐蚀科学与防护技术 [M]. 上海:华东理工大学出版社, 2007: 25–27.  
Liang Chenghao. Modern Corrosion Science and Protection Technology [M]. Shanghai: East China University of Science and Technology Press, 2007: 25–27.
- [2] 尹衍升, 黄翔, 董丽华. 海洋工程材料学 [M]. 北京: 科学出版社, 2008: 14–21.  
Yin Yansheng, Huang Xiang, Dong Lihua. Marine Engineering Materials Science [M]. Beijing: Science Press, 2008: 14–21.
- [3] 廖伍彬, 邓晓辉, 邓卫东, 等. 旁路式管道内腐蚀监测技术应用 [J]. 科技创新导报, 2010, (30): 93–97.  
Liao Wubin, Deng Xiaohui, Deng Weidong, et al. Corrosion Monitoring Technology within the Bypass Pipeline [J]. Science and Technology Innovation Herald, 2010, (30): 93–97.
- [4] 周晶, 陈严飞, 李昕, 等. 复杂荷载作用下海底腐蚀管线破坏机理研究进展 [J]. 海洋工程, 2008, 26(1): 127–134.  
Zhou Jing, Chen Yanfei, Li Xin, et al. A Review of the Study on the Damage Mechanism of Corroded Submarine Pipeline under Complex Loadings [J]. The Ocean Engineering, 2008, 26(1): 127–134.
- [5] 彭伟华, 苗健, 高伟, 等. 原油含水量和流速对X60钢管腐蚀行为的影响 [J]. 材料保护, 2012, 45(5): 60–62.  
Peng Weihua, Miao Jian, Gao Wei, et al. Effect of Water Content and Flow Rate of Crude Oil Corrosion Behavior of Pipeline Steel X 60 [J]. Materials Prtection, 2012, 45(5): 60–62.
- [6] Maruthamuthu S, Kumar B D, Ramachandran S, et al. Microbial Corrosion in Petroleum Product Transporting Pipelines [J]. Industrial & Engineering Chemistry Research, 2011, 50(13): 8006–8015.
- [7] Jiang X, Zheng Y G, Ke W. Corrosion Inhibitor Performance for Carbon Dioxide Corrosion of N80 Steel under Static and Flowing Conditions [J]. Corrosion, 2005, 61(4): 326–334.
- [8] 陈鸿海. 金属腐蚀学 [M]. 北京: 北京理工大学出版社, 1995.  
Chen Honghai. Metal Corrosion Science [M]. Beijing: Beijing Institute of Technology Press, 1995.
- [9] 杨锐华, 熊亮, 李永培. 四川盆地气田中多相流腐蚀研究的探讨 [J]. 钻采工艺, 2003, 26(4): 89–91.  
Yang Ruihua, Xiong Liang, Li Yongpei. Discussion on the Multiphase Fluid Corrosion in Sichuan Oilfield [J]. Drilling & Production Technology, 2003, 26(4): 89–91.
- [10] 韩炜. 管道气液两相流动技术研究 [D]. 成都: 西南石油大学, 2004.  
Han Wei. Study on Two-Phase Gas-Liquid Flow Technology in Pipeline [D]. Chengdu: Southwest Petroleum University, 2004.
- [11] 徐鸣泉. 管道冲蚀破坏的多相流数值模拟研究 [D]. 杭州: 浙江大学, 2005.  
Xu Mingquan. Research on Numerical Simulation of Multi Phase Flow for Erosion Destruction of Pipe [D]. Hangzhou: Zhejiang University, 2005.
- [12] 崔斌, 臧国军, 赵锐. 油气集输管道内腐蚀及内防腐技术 [J]. 石油化工设计, 2007, 24(1): 51–54.  
Cui Bin, Zang Guojun, Zhao Rui. Corrosion and Anti-Corrosion Techniques for the Inner Wall of Oil and Gas Transportation Pipelines [J]. Petrochemical Design, 2007, 24(1): 51–54.
- [13] 周彬, 刘勇峰. 多相混输管道弯管流动腐蚀数值计算 [J]. 当代化工, 2013, 42(3): 332–335.  
Zhou Bin, Liu Yongfeng. Numerical Calculation of Flow Induced Corrosion for the Bend of Multiphase Pipelines [J]. Contemporary Chemical Industry, 2013, 42(3): 332–335.
- [14] 甘振维. 凝析气田集输管道内腐蚀分析 [J]. 油气储运, 2010, 29(1): 41–45.  
Gan Zhenwei. Analysis on Inner Corrosion of Gas Gathering Pipelines in Gas Condensate Field [J]. Oil & Gas Storage and Transportation, 2010, 29(1): 41–45.
- [15] 刘宇程, 张寅龙, 陈明燕. 高含盐量酸性油水混合液对弯管处管线的腐蚀研究 [J]. 安全与环境学报, 2014, 14(6): 35–37.  
Liu Yucheng, Zhang Yinlong, Chen Mingyan. Research on Corrosion of High Salinity Acidic Water-Oil Mixture on the Pipeline Elbows [J]. Journal of Safety and Environment, 2014, 14(6): 35–37.
- [16] Schmitt G, Mueller M, Papenfuss M, et al. Understanding Localized CO<sub>2</sub> Corrosion of Carbon Steel from Physical of Iron Carbonate Scales [J]. Corrosion, 1999, 55(2): 38–53.
- [17] 王志龙, 艾俊哲, 梅平, 等. 二氧化碳对钢腐蚀的影响因素研究 [J]. 油气田环境保护, 2004, 14(1): 48–50.  
Wang Zhilong, Ai Junzhe, Mei Ping, et al. Influence Factors on Carbon Dioxide Corrosion of Steel [J]. Environmental Protection of Oil & Gas Fields, 2004, 14(1): 48–50.